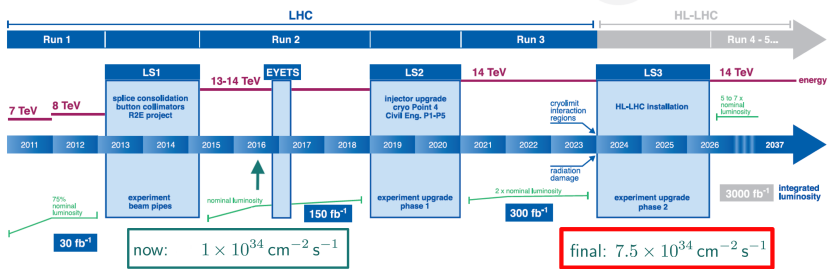




Entwicklung eines neuen Level-0 Myontriggers für das ATLAS-Experiment am High-Luminosity-LHC



Luminositäts-Upgrade des LHC

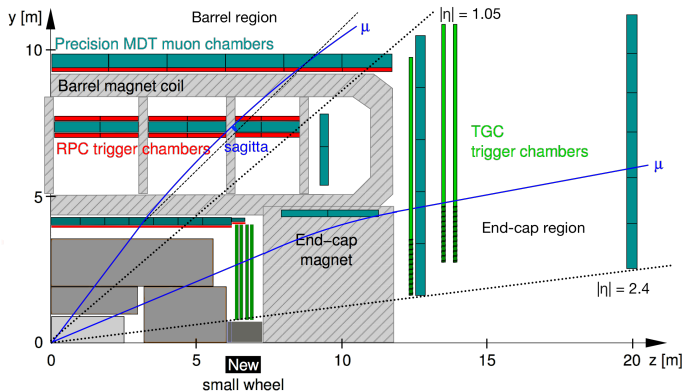


LHC Luminosität nach Upgrade um eine Größenordnung erhöht:

- ▶ Messungen des Standardmodells mit signifikant erhöhter Genauigkeit
- ▶ Suchen nach neuer Physik mit größerer Reichweite

ATLAS Myonspektrometer am HL-LHC

$$\eta = -\ln \left[\tan \left(\frac{\theta}{2} \right) \right]$$



Impulsmessung mittels Sagitta (Spurkrümmung) in drei Lagen der Myonkammern.

Schnelle Triggerkammern, $\sigma_t \sim \mathcal{O}(1 \text{ ns})$:

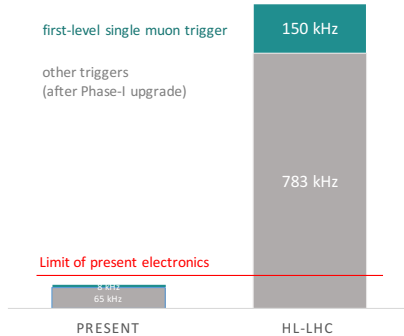
- Resistive Plate Chambers (RPC),
- Thin Gap Chambers (TGC)

Präzisions-Spurdetektoren, $\sigma_r \sim \mathcal{O}(35 \mu\text{m})$:

- Monitored Drift Tube Chambers (MDT),
6-8 Lagen aus $\varnothing 30 \text{ mm}$ Driftröhren.

Herausforderung: Hohe Triggerrate nach Upgrade

First-level trigger rates

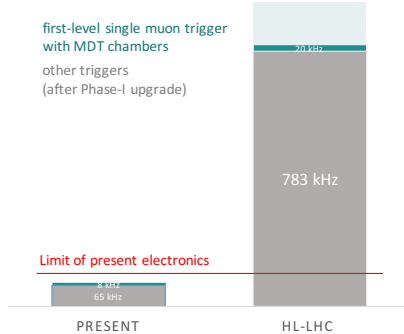


- ▶ **10× höhere Triggerrate** am HL-LHC bei Triggerschwellen $\lesssim 20 \text{ GeV}$ überschreitet Leistungsfähigkeit der jetzigen Elektronik
- ▶ Zielvorgabe für Myontriggerrate: $< 40 \text{ kHz}$

- ▶ Lösung: Hochselektive Trigger, insbesondere **verbesserte erste Myontriggerstufe**.

Herausforderung: Hohe Triggerrate nach Upgrade

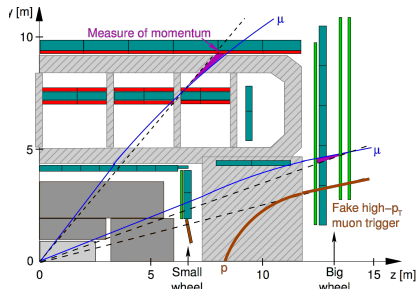
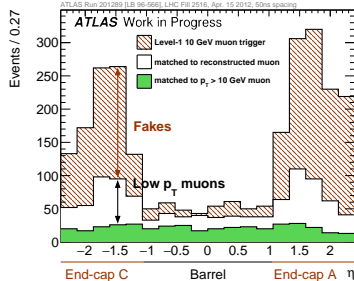
First-level trigger rates



- ▶ **10× höhere Triggerrate** am HL-LHC bei Triggerschwellen $\lesssim 20 \text{ GeV}$ überschreitet Leistungsfähigkeit der jetzigen Elektronik
- ▶ Zielvorgabe für Myontriggerrate: $< 40 \text{ kHz}$

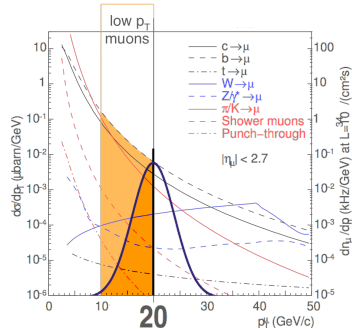
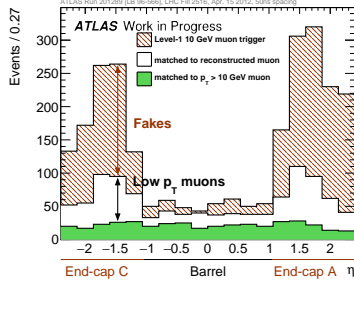
- ▶ Lösung: Hochselektive Trigger, insbesondere **verbesserte erste Myontriggerstufe**.

Beiträge zur Level-1 Myontriggerrate



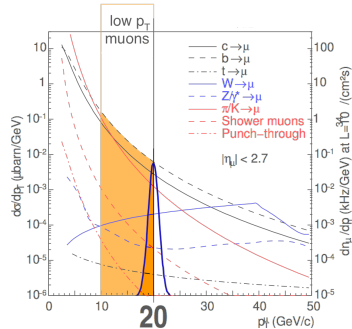
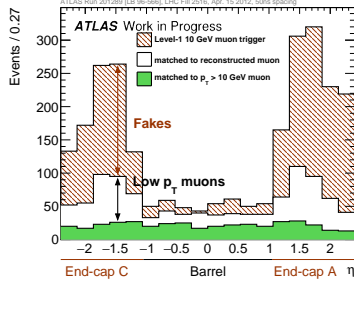
- ▶ Triggerrate dominiert durch **Fakes in den Endkappen** und durch hohe Rate von Myonen mit niedrigem p_T
- ▶ **Verbesserte Impulsauflösung** der ersten Triggerstufe nötig, um diesen Beitrag zu reduzieren

Beiträge zur Level-1 Myontriggerrate



- ▶ Triggerrate dominiert durch Fakes in den Endkappen und durch **hohe Rate von Myonen mit niedrigem p_T**
- ▶ Verbesserte Impulsauflösung der ersten Triggerstufe nötig, um diesen Beitrag zu reduzieren

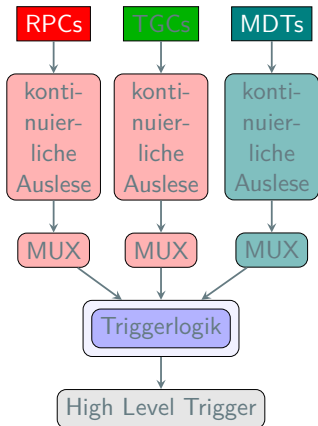
Beiträge zur Level-1 Myontriggerrate



- ▶ Triggerrate dominiert durch Fakes in den Endkappen und durch **hohe Rate von Myonen mit niedrigem p_T**
- ▶ **Verbesserte Impulsauflösung** der ersten Triggerstufe nötig, um diesen Beitrag zu reduzieren

Erste Myontriggerstufe am HL-LHC

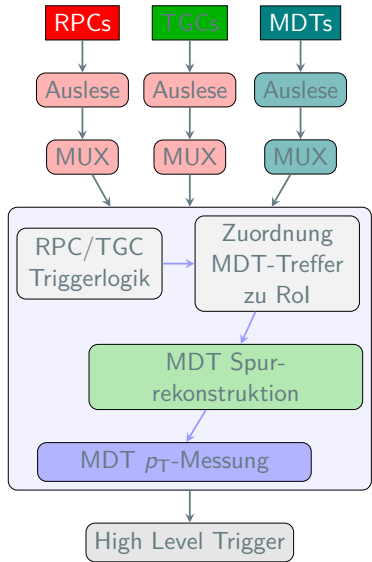
MDT-Myontrigger



Nutzung der
MDT-Kammer-Information
schon in erster Triggerstufe

- Möglich durch erhöhte Trigger-Latenz von $6 \mu\text{s}$ nach Phase-II Upgrade
- Impulsauflösung des MDT-Myontriggers vergleichbar mit gegenwärtigem High Level Trigger
- Reduktion der Myon-Triggerrate auf $< 20 \text{ kHz}$

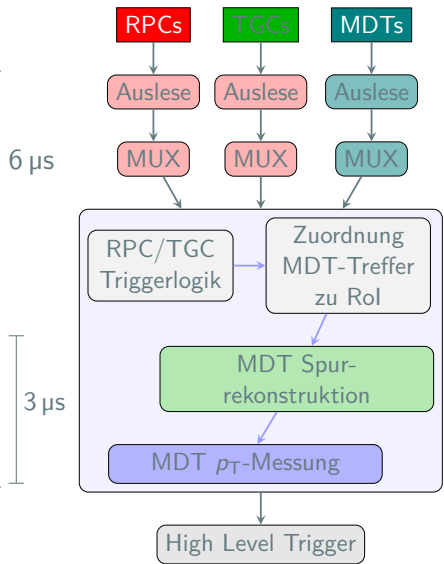
Erste Myontriggerstufe am HL-LHC



Nutzung der
MDT-Kammer-Information
schon in erster Triggerstufe

- Möglich durch erhöhte Trigger-Latenz von $6\ \mu\text{s}$ nach Phase-II Upgrade
- Impulsauflösung des MDT-Myontriggers vergleichbar mit gegenwärtigem High Level Trigger
- Reduktion der Myon-Triggerrate auf $< 20\ \text{kHz}$

Erste Myontriggerstufe am HL-LHC

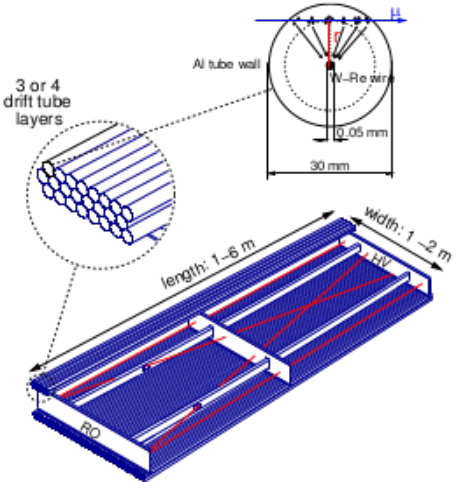


Nutzung der
MDT-Kammer-Information
schon in erster Triggerstufe

- Möglich durch erhöhte Trigger-Latenz von 6 μ s nach Phase-II Upgrade
- Impulsauflösung des MDT-Myontriggers vergleichbar mit gegenwärtigem High Level Trigger
- Reduktion der Myon-Triggerrate auf < 20 kHz

Funktionsweise der MDT-Kammern

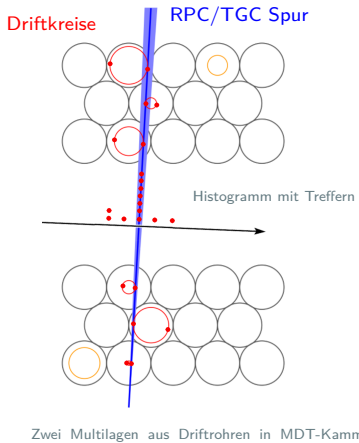
- ▶ Je Kammer zwei Multilagen mit 3 bis 4 Lagen aus Driftrohren
- ▶ Gasgemisch Ar/CO₂ (97%/3%) mit 3 bar Druck
- ▶ Messung der Driftzeit der Elektronen aus Primärionisation zum Anodendraht bestimmt Driftradius



Schnelle Spurrekonstruktion

Parametrisiere Myonspur in Kammer als **geradliniges Spursegment**

$$y = m z + b$$



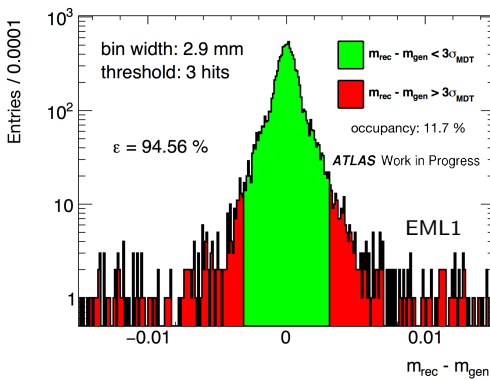
Spursegment-Rekonstruktion:

- ▶ Mustererkennung
- ▶ χ^2 -Fits an Geraden mit ausgewählten Treffern
- ▶ Wähle Kandidaten mit
 1. höchster Anzahl Treffer n_{hits} ,
 2. kleinstem χ^2

Hough Transformation:

- ▶ Standardmethode zur Mustererkennung
- ▶ Effizienz stark abhängig von Genauigkeit der RPC/TGC-Messung

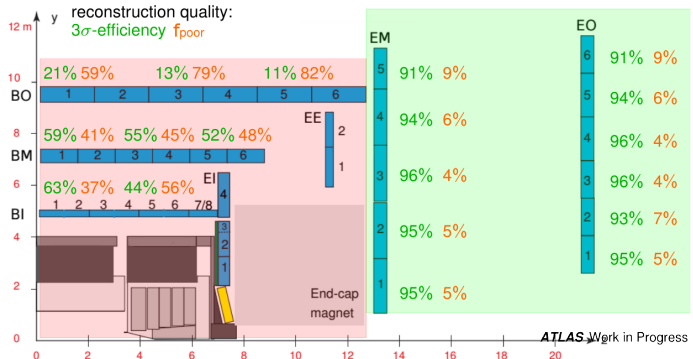
Spurrekonstruktions-Effizienz



Effizienz der 1-D Hough Transformation:

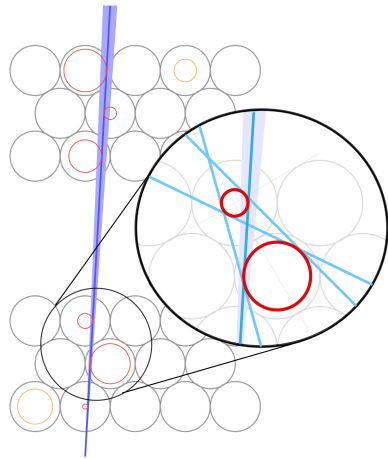
- gut rekonstruiert (ε): $|m_{\text{rec}} - m_{\text{gen}}| < 3 \sigma_{\text{MDT}, \theta}$
- falsch rekonstruiert (f_{poor}): $|m_{\text{rec}} - m_{\text{gen}}| > 3 \sigma_{\text{MDT}, \theta}$
- nicht rekonstruiert: $n_{\text{hits}} \geq n_{\text{min}}$

1-D Hough Transformation



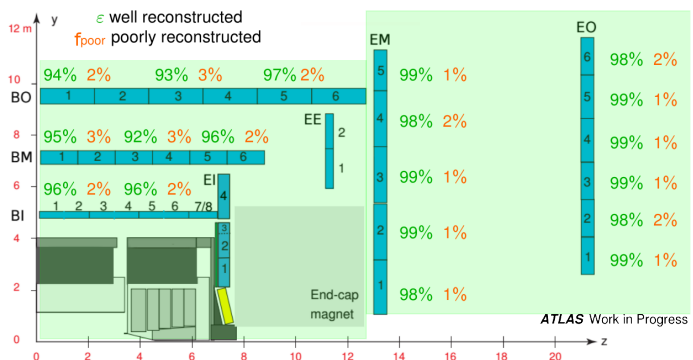
- Hoher Anteil ($f_{poor} > 5\%$) falsch rekonstruierter Spursegmente
- Die 1-D Hough Transformation ist **nicht anwendbar im Barrel-Bereich**.
- 2-D Hough Transformation: Bessere Effizienz, hoher Ressourcenverbrauch

Tangentenmethode (neu)



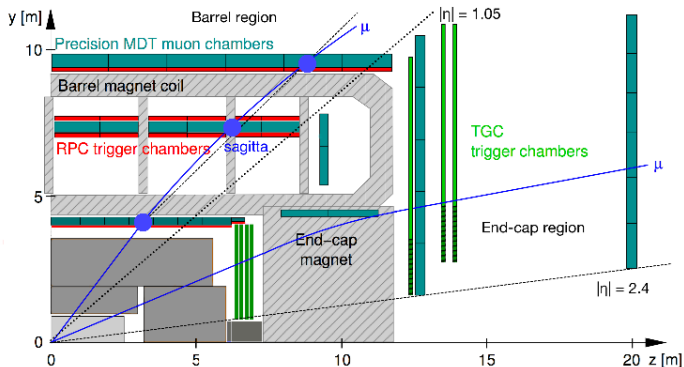
1. Für alle Kombinationen von zwei Driftkreisen in einer Multilage: Berechne die 4 gemeinsamen Tangenten
2. Wähle mit RPC/TGC-Spur kompatible Tangenten.
3. Berechne Mittelwert dieser Tangenten
4. Suche die nächsten Treffer zu dieser Geraden
5. χ^2 -Fit an Gerade mit diesen Treffern

Tangentenmethode (neu)



- ▶ Kleiner Anteil falsch rekonstruierter Spursegmente ($f_{poor} < 3\%$)
- ▶ Tangentenmethode überall mit sehr guter Rekonstruktionseffizienz anwendbar.

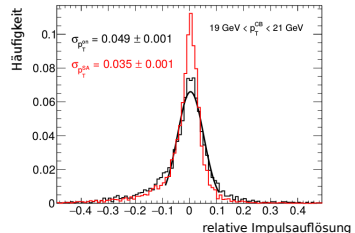
Schnelle Impulsmessung



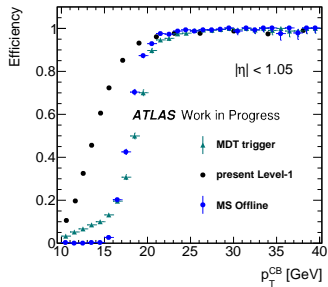
- Keine volle Spurrekonstruktion möglich:
Nutze Spursegmente für **Sagitta-basierte Impulsmessung**
- Inhomogenes Magnetfeld erfordert lokale **Parametrisierung** von $p_T^{\text{on}}(s, \phi, \eta)$

Genauigkeit der schnellen Impulsmessung

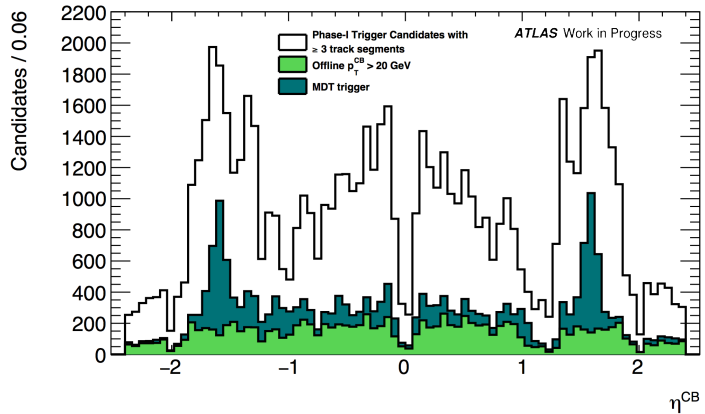
- ▶ Impulsauflösung $\sigma_{p_T^{\text{on}}} = 5\%$ der Sagitta-Messung vergleichbar mit Standalone-Myonsystem



- ▶ Trigger-Effizienzkurve steigt viel schärfer an als jetziger Level-1 Trigger
- ▶ Reduzierung der Triggerrate ohne Anheben der Triggerschwelle

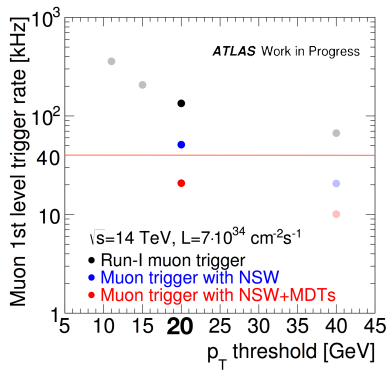


Reduzierung der Triggerrate



- Signifikante Reduzierung der Triggerrate um 60 %

Reduzierung der Triggerrate



First-level muon trigger rate



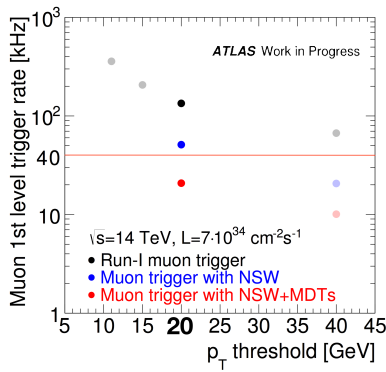
Schritt 1: Fake-Veto

Triggerrate: $150 \text{ kHz} \rightarrow 50 \text{ kHz}$

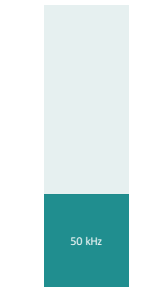
Schritt 2: bessere p_T Auflösung

Triggerrate: $50 \text{ kHz} \rightarrow 20 \text{ kHz}$

Reduzierung der Triggerrate



First-level muon trigger rate



HL-LHC

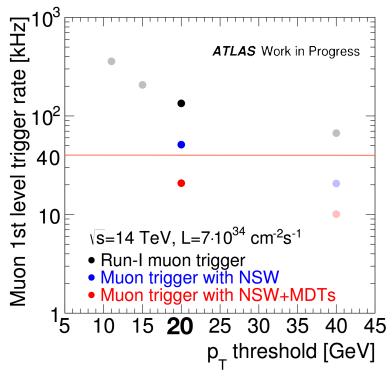
Schritt 1: Fake-Veto

Triggerrate: 150 kHz → 50 kHz

Schritt 2: bessere p_T Auflösung

Triggerrate: 50 kHz → 20 kHz

Reduzierung der Triggerrate



First-level muon trigger rate



20 kHz

HL-LHC

Schritt 1: Fake-Veto

Triggerrate: 150 kHz → 50 kHz

Schritt 2: bessere p_T Auflösung

Triggerrate: 50 kHz → 20 kHz

Zusammenfassung

- ▶ Hochselektive Trigger sind unverzichtbar, um die Triggerschwellen am HL-LHC bei der elektroschwachen Skala zu behalten.
- ▶ Um die Myon-Triggerrate zu reduzieren, müssen die MDT-Kammern schon in die erste Triggerstufe einbezogen werden.
- ▶ Schnelle Spurrekonstruktionsalgorithmen wurden untersucht. Der neu entwickelte Tangentenmethode zeigt die höchste Effizienz von $\varepsilon \approx 95\%$ in allen Bereichen des Myonspektrometers.
- ▶ Mittels einer Sagitta-basierten Impulsmessung mit verbesserter Impulsauflösung kann die Triggerrate auf unter 20 kHz reduziert werden.